

I-17 統計的手法による小松島港の高潮解析

徳島大学工業短期大学部 正員 村上 仁士
岡山県 正員 ○谷口 利夫

1. まえがき；徳島県は台風の常襲地帯に位置し、過去幾々の高潮被害に見舞われてきたが、高潮を求めるための決定的な方法は、いまだ提示されていないのが現状である。しかし、高潮による被害を軽減する上からも、何うかの方法により高潮の解析を試みる必要がある。本研究は、徳島県小松島港における高潮を、統計的手法を用いて解析し、高潮の再現期間を求めるヒキに、高潮時の最大潮位偏差を推算する簡便式を提示し、海岸保全施設の設計、および高潮予報の一参考資料に供することを目的としたものである。

表-1 D.L.と

2. 解析に用いた資料；解析には、1953年～1972年までの過去20年間ににおける小松島港の潮位、潮位偏差、風および気圧の資料を用いた。潮位偏差の資料は30cm以上のものであり、これ以下では工学的意義を失ないし、検潮記録紙上の潮位上昇が台風によるものかどうかが明確に識別しがたいためである。表-1に示すように、小松島港の観測基準面D.L.と東京湾中等潮位T.P.との関係は観測期間を通じて変動しているので、潮位を取扱う場合には、同一の基準面上に換算する必要があり、ここでは、1970年のD.L.すなわち[T.P.-1.959m]として以下に示す(A)および(B)の2種の方法により、潮位(A)および潮位(B)を求めた。

T.P.の関係

	D.L. below T.P. (cm)
1951.	1872
1954.	1822
1955.	1874
1956.	1806
1957.	1808
1958.	1807
1962.	1805
1964.	1804
1965.	1848
1970.	1953

(A) D.L.が既知の年度間では、地盤が直線的に昇降したものとして各年のD.L.の変化を求めた。

(B) D.L.が既知の年度間では、地盤が一定として各年のD.L.の変化を求めた。

3. 解析方法；第2室戸台風による高潮の再現期間を求める場合、潮位および潮位偏差のそれそれに、指數分布、Gumbel分布および対数極値分布A型の3種を適用して、各分布型における再現期間を求めた。Gumbel分布は、Gumbelによるもの(1)、角屋によるもの(2)とした。また、対数極値分布A型は(3)とした¹⁾。一方、潮位偏差推算式(以下、推算式と呼ぶ)は、潮位偏差をΔh(cm)、気圧偏差をΔP(mb)、風速をV(m/sec)、風向と主風向(小松島港の場合は南東)とのなす角をθとして、つぎに挙げる3種類の推算式を仮定し、小松島港における係数α, β, Cおよびα, βを最小自乗法により求めた。

$$(A) \Delta h = a \Delta P + b V^2 \cos \theta + C$$

$$3) \Delta h = a \Delta P + b V^2 \cos \theta$$

$$(C) \Delta h = \alpha \Delta P + \beta$$

(A)式の係数Cは、高潮が風、気圧のみでなく、湾形、水深、台風の動的性質など、種々の要因による影響を受けるが、それを静的かつ一義的にとらえて、小松島港における特定値としたものである。また、台風が徳島の西もしくは東のいずれの側を通過したかにより潮位に与える影響が異なるため、ここでは、西側通過台風と全台風とに分けて各式中の係数を求めた。係数の算定は、i)全台風によるもの、ii)西側通過台風によるもの、および第2室戸台風を除いてi)、ii)と同様な方法で算定したものをそれぞれ(1), (2)とした。なお東側通過台風については、資料数が少なかつたため、係数を算定することが困難であるので、ここでは省略した。

表-2 高潮の再現期間

4. 高潮の再現期間；表-2は、第2室戸台風による高潮の再現期間を各種の方法で求めたものであり、潮位に関しては、潮位(A)、潮位(B)のいずれの場合にも大差はない。これは小松島港におけるD.L.の変化量が潮位そのものに比べて小さいためである。そして、Gumbelの方法よりも角屋による方法で求めた再現期間の方が大きい値を示している。また、潮位偏差については、解析手法によってかなりの差がある。なお、図-1、図-2は潮位偏差および潮位の分布型状の一例を示したものである。

分布型	潮位偏差	潮位(A)	潮位(B)
指數分布	200	93	100
i) Gumbel分布	85.5	99	103
ii) 対数極値分布A型	138.5	164	164
iii) 角屋による方法	99	102	111

実際の防災計画に際しては、潮位偏差と潮位とのいずれを重視すべきかが問題となってくる。ここで、満潮時に最大潮位偏差が生ずれば、その時まで最も危険な状態になると考えられる。したがって、満潮時と最大潮位偏差

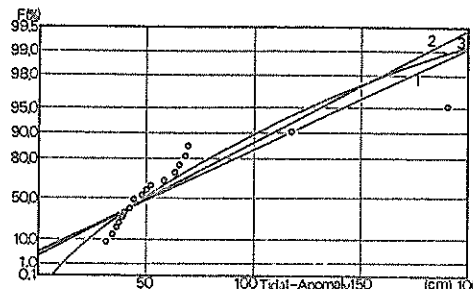


図-1 極値分布(潮位偏差)

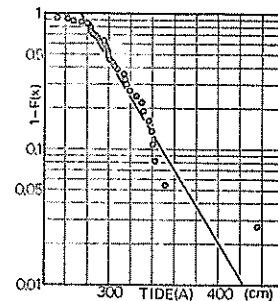


図-2

差起時に潮位が最高となる確率がどの程度になるかが重要である。表-3はその時間のズレを小松島、高知、土佐清水、高松の各港について調べたものであり、満潮時と最大潮位偏差超時との時間差を、1時間+30分としてそれぞれも、階級値とした。小松島港における、1953年～1972年までの満潮の潮位差はほぼ170 cmであり、時間差は約6時間である。したがって、階級値では潮位差は約70 cmであり、表-3からわかるように、潮位偏差が70 cm以上ならば、最大潮位偏差超時に潮位が最高となる確率が6%程度となり、はなはだ危険な状態となる。以上のことを考慮して、海岸構造物の設計には、潮位よりも潮位偏差で計画を行うのが賢明であると考えられる。

5. 潮位偏差推算式；表-4は3.で述べた方法から各推算式の係数、推算値と実測値との差(相対値)の標準偏差 σ 、および気象庁による係数を示したものである。(i)式は、波浪が大きく、高潮を推算する場合には危険側を取ることになり、(ii)式による推算値の方が精度がよい。次に、図-3は負圧偏差と潮位偏差との関係を示したものであるが、APと Δh の相関性は良くなく、APのみを変数とする(C)式は、使用上好ましくない。また、一般に東側通過台風については、風による影響が少なく、相関性が良くなるのが普通であるが、現有資料において相関性が悪くなかったことから、小松島港においては、風、気圧以外に何らかの地域的要因があると思われる。したがって(B)式より(A)式の方が実際に即しており、(i)式より(ii)式の方がより安全側を取ることとなり、大きな潮位偏差を考える場合には、(A)-(ii)式を使用するのが妥当であると考えられる。次に、図-4は気象庁の式による推算値と、(A)-(ii)式による推算値との比較を、実測値60cm以上の台風について示したものである。これからもわかるように、(A)-(ii)式を用いて潮位偏差の推算を行うのが、現時点では最も妥当であると考えられる。最後に、本研究にあたり有益な御助言をいただいた徳島大学三井宏教授、端野直夫助教授、ならびに貴重な資料を提供していただいた徳島地方気象台、神戸海洋気象台の方々に感謝の意を表す。

指數分布(潮位(A))

表-3 時間偏差の

頻度分布(%)

	小松島	高知	土佐清水	高松
0	7.14	5.56	9.52	3.70
1	17.86	16.67	33.10	11.11
2	32.14	27.78	42.86	29.63
3	50.00	38.89	47.62	44.44
4	71.43	83.33	52.38	59.26
5	83.29	88.89	80.95	74.07
6	92.86	94.44	95.24	92.59

表-4 推算式の各係数

	$\Delta h = aAP + bUCos\theta + c$			
	a	b	c	
A-(i)	1.62	0.013	7.62	18.6
B-(i)	1.57	0.009	3.65	8.9
B-(ii)	1.81	0.016		16.0
B-(iii)	2.03	0.009		14.3
A-(i)'	0.49	0.016	29.2	18.8
A-(ii)'	1.21	0.016	14.5	14.3
B-(i)'	1.13	0.024		14.9
B-(ii)'	1.63	0.021		11.3
気象庁式*	1.73	0.019		9.8

	$\Delta h = aAP + \beta$		
	a	b	c
E-(i)	2.72	9.71	10.3
E-(ii)	2.54	9.06	8.1
C-(i)	0.54	3.28	20.0
C-(ii)	1.45	16.28	12.8
気象庁式*	1.1	23.8	16.8

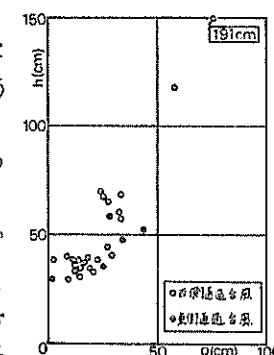


図-3 負圧偏差と潮位偏差との関係

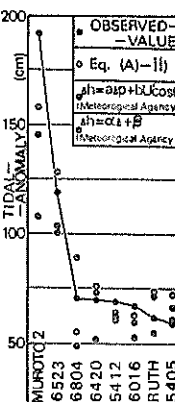


図-4 推算値と実測値との比較

参考文献

- 1) 角屋 読；本文統計論、土木学会水理委員会、1964
- 2) 気象庁高松地方気象台；四国周辺の高潮資料と地盤変動、気象庁技術報告第46号、1965